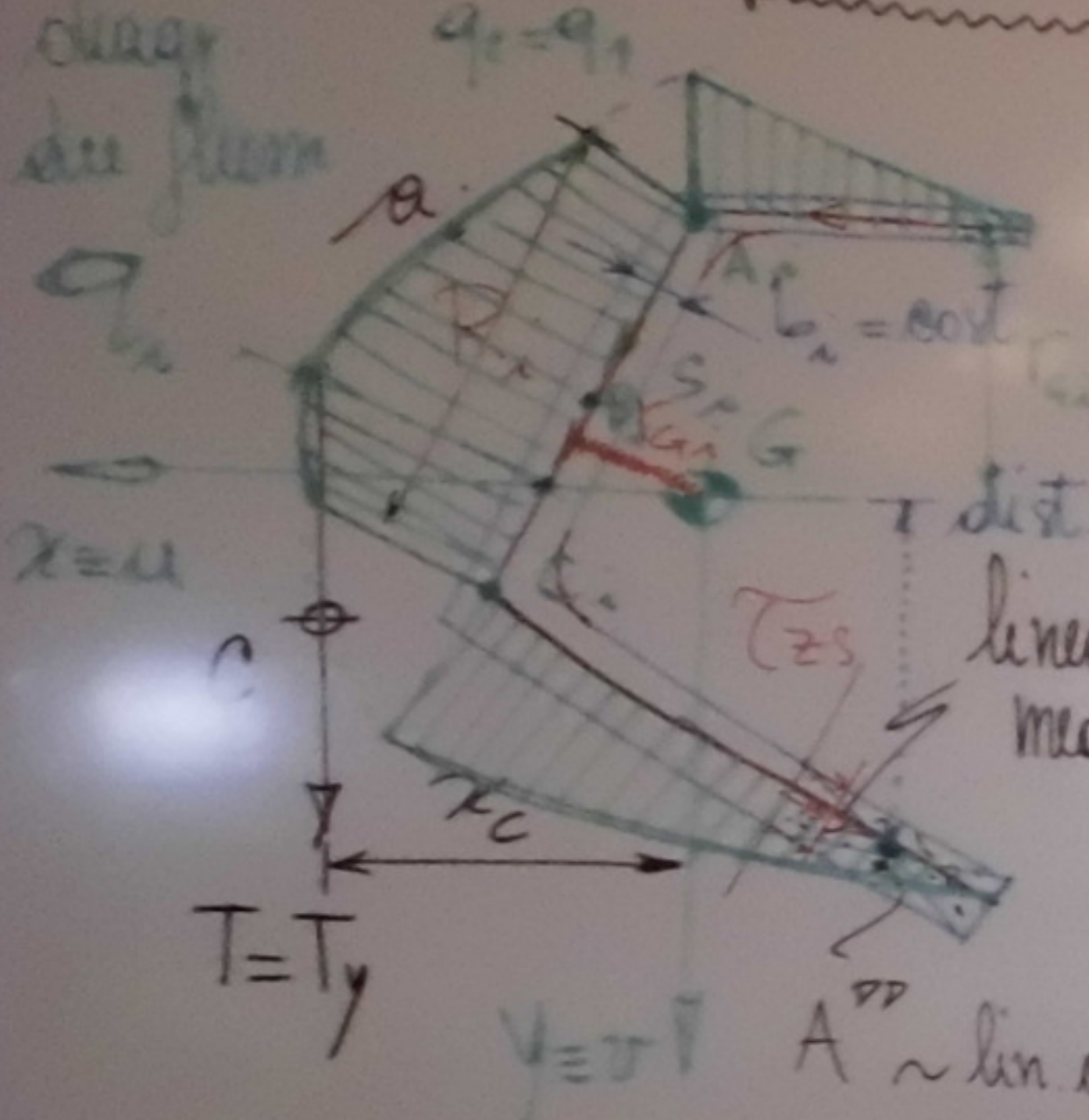


Profili sottili aperti formati da rettangoli sottili



-  $T_{zs}$  alla Jouravsky

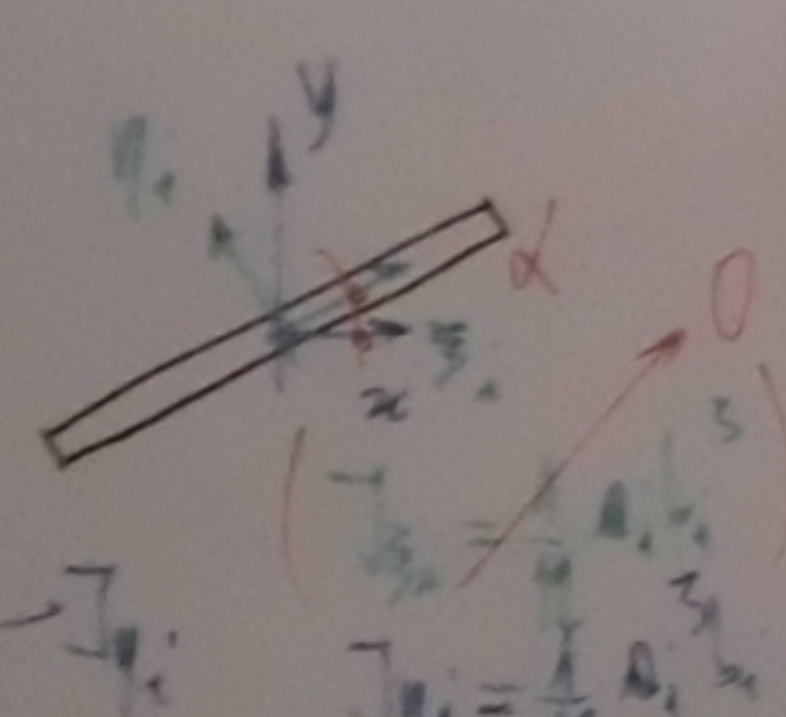
$$T_{zs} \approx \bar{T}_{zs} = \frac{\bar{I}_y S_x(s_i)}{\bar{J}_x b_i}$$

$$T_{zs_i} = \frac{\bar{I}_y S_x(s_i)}{\bar{J}_x b_i}$$

$$T_{zs} = \frac{\bar{I}_y S_x(s_i)}{\bar{J}_x b_i}$$

$$A = \sum_i a_i b_i$$

$$J_z = \sum_i J_{zi}$$



$$J_{xi} = J_y \sin^2 \alpha$$

$$J_{yi} = J_y \cos^2 \alpha$$

$$J_{xy} = J_y \sin \alpha \cos \alpha$$

$$J_{zi} = \frac{1}{2} J_y \sin^2 \alpha$$

$$q(s_i) = T_{zs}(s_i) b_i = \frac{\bar{I}_y S_x(s_i)}{\bar{J}_x} b_i$$

$$q_i = q \Rightarrow T_{zs_i} b_i = T_{zs} b_i \Rightarrow T_{zs} = b_i T_{zs_i}$$

- L'andamento delle  $T_{zs}$  si deduce dal ragionamento di equilibrio di Jouravsky alla traslazione in direzione z. Evidentemente si infiere all'accoppiamento taglio/flessione (flessione composta) e quindi  $T_{zs}$  risulta all'accoppiamento  $T_{zs} \leftrightarrow \sigma_{zz}$ , con verso locale delle  $T_{zs}$  tale da riportare l'equilibrio in direz. z.

- Le stime delle  $T_{zs}$  risultano indipendente dal punto di applicazione dell'azione ( $T = Ty$ ), che pertanto si può tenere applicata nel punto di applicazione del risultante delle  $T_{zs}$ , il quale passa attraverso il centro di taglio del profilo.

N.B. Considerando la linea di applicazione tangente alla traiettoria del  $C_T = CT_0$  risulta necessaria una distanza pari all'effettivo rapporto del momento torcente "parasita" rispetto al momento da O a C. Ciò realizza un accoppiamento taglio/flessione con  $T_{zs} = \frac{M_t}{J} b_i$ ,  $J = \frac{1}{3} \sum_i a_i z_i^2$

- Essendo l'andamento in  $s_i$  delle  $T_{zs_i}(s_i)$  dato dalla funzione  $S_x^{pp} = -S_x$ , non risulta più parallelo in  $s_i$ . Questo è tutto sulle  $T_{zs}$ .

- Per ogni sezione si trova la linea media tangente al centro di taglio. Il risultante passa attraverso il centro di taglio del profilo.

## Profili sottili aperti formati da rettangoli sottili

-  $T_{25}$  alla Jouravsky

$$= \bar{T}_2 = \frac{I_y S_2(s_i)}{J_x b_i}$$

$$T_{25,i} = \frac{I_y S_{2,i}}{J_x b_i}$$

$$T_{25} = \frac{I_y (S_{2,i})}{J_x}$$

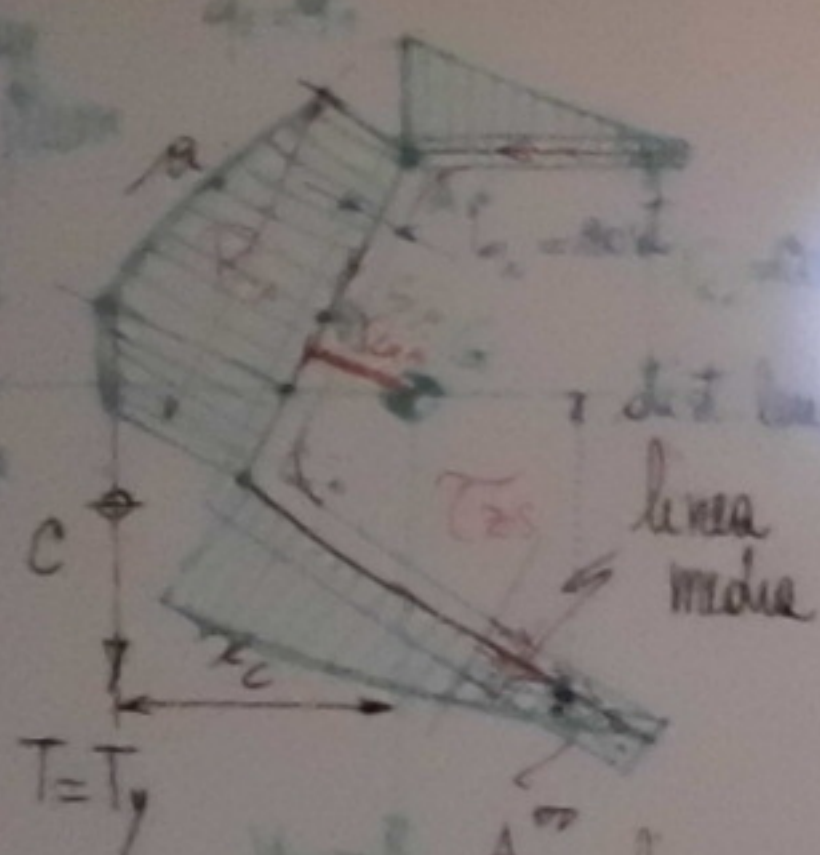
$$T_{25} = T_{25,i} A^{\text{par}}$$

$$A = \sum_i a_i b_i$$

$$J_x = J_y \sin^2 \alpha$$

$$J_y = J_y \cos^2 \alpha$$

$$J_{xy} = J_y \sin \alpha \cos \alpha$$



- L'andamento delle  $T_{25}$  si deduce dal ragionamento di equilibrio di Jouravsky alla torsione in direzione z. Evidentemente non si riuscirebbe all'accoppiamento taglio/flessione (flessione composta) e quindi all'accoppiamento  $\leftrightarrow T_{25}$ , con verso locale delle  $T_{25}$  tale da non porre l'equilibrio in direz. z.

- Le forme delle  $T_{25}$  risultano indipendente dal punto di applicazione dell'azione ( $T=T_y$ ), che determina più attenzione applicare nel punto di applicazione del risultante delle  $T_{25}$ , il quale punta verso il centro di taglio del profilo.

- N.B. Qualora il p.t.o di applicazione l'assegno non coincida col  $C_T = C_T_0$  sarà necessario tenere in conto l'effetto torcente generato dal momento torcente "parasite" legato al trasporto da O a C. Ciò realizza un accoppiamento taglio rotazione con  $T_{25} = \frac{M_t}{J} b_i$

$$J = \frac{1}{3} \sum_i a_i b_i$$

- Essendo l'andamento in  $s_i$  delle  $T_{25,i}(s_i)$  legato alle funzioni  $S_{x,i} = -S_{z,i}$ , esso risulterà il più parabolico in  $s_i$ . Qualora vi sia tratto // all'asse x, il risultante delle  $T_{25}$  è

Il p.t.o. dove la linea media tocca l'asse z, si produce

- Costanza dei flussi al nodo.

$$q_1 + q_2 = q_x + q_z \Rightarrow S_1 = S_2 + S_3$$

Le  $T_{25,i}$  locali, trasportati lungo il tratto i verso il nodo mediano generano risultanti locali  $R_i = \int T_{25,i} b_i ds_i = \int I_y S_{x,i} ds_i$  applicate lungo la linea media su di loro  $R_c = \text{cost.}$

- Per equivalenza statica al p.t.o di applicazione si risulta delle  $T_{25}$  (stessa del  $C_T$ ) e determina come:  $T_{25} = R_c / R_i$

- Le risultanti possono essere determinate per integrazione della  $x$  mediante le formule di Simpson:  $\int S_{x,i}(s_i) ds_i = \frac{1}{6} (S_{x,i}^{(1)} + 4 S_{x,i}^{(2)} + S_{x,i}^{(3)})$

- Per i profili a stelle, le risultanti  $R_i$  sono riportate verso il centro delle stelle, con una media di  $C_T$  tutte le  $R_i$ .

- Idem per  $T = T_x$  se maggiore di  $T_{25}$

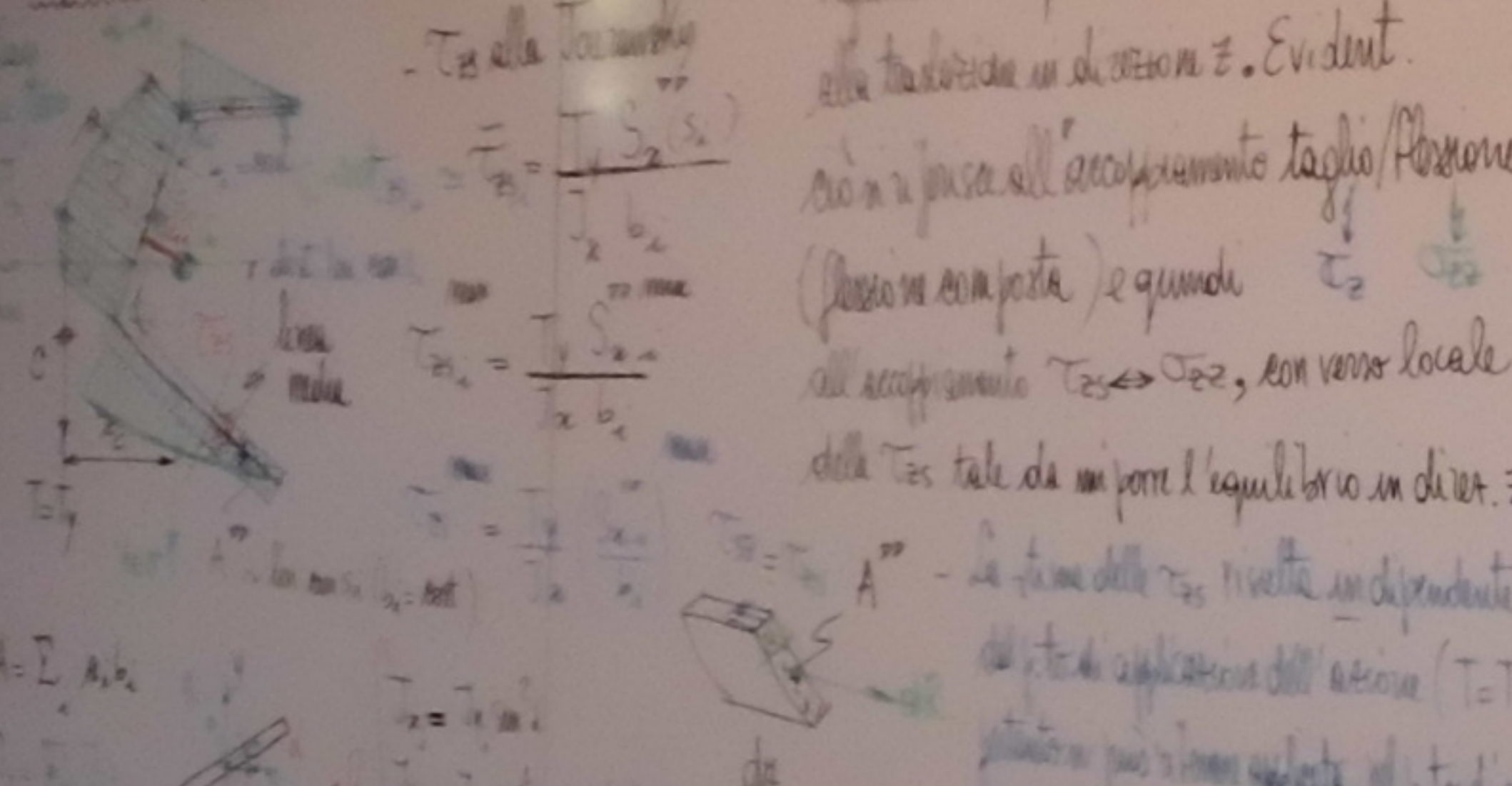
Si tratta quindi di stanghe rotte

Ts alla Jourawsky

$$T_{2z} = \bar{T}_{2z} = \frac{\bar{T}_y S_{x_2}(s_2)}{J_x b_2}$$

$$T_{2z} = T_{2z}^m = \frac{T_y S_{x_2}}{J_x b_2}$$

$$T_{2z} = T_{2z}^{tot} = \frac{T_y S_{x_2}^{tot}}{J_x b_2}$$



$$A = \sum a_i b_i$$

$$T_z = T_{2z}$$

$$T_z = T_{2z} \quad \text{da}$$

$$T_z = T_{2z}^m \quad \text{da}$$

$$T_z = T_{2z}^{tot} \quad \text{da}$$

A'' - La forma delle  $T_{2z}$  risulta indipendente  
dal punto di applicazione dell'azione ( $T=T_y$ ), che  
attivano una reazione nulla al punto di applicazione  
della reazione della  $T_{2z}$ , il quale pratica una  
finta di flessione del capo.

- N.B. Quando il pto di applicazione l'angolo non  
corrisponde al  $CT_a = CT_0$  sarà necessario tener  
in conto l'effetto trascinante generato dal  
momento torcente "corrente" legato al trasporto  
da O a C. Se si realizza un accopp.  
taglio-trascinante

$$\text{con } T_{2z}^{tot} = \frac{M_t}{J} b_i, \quad J = \frac{1}{3} \sum_i a_i b_i$$

- Essendo l'andamento in  $s_i$  delle  $T_{2z_i}(s_i)$  legato alle  
funzioni  $S_{x_i}^{'''} = -S_{x_i}'''$ , esso risultrà il più parabolico  
in  $s_i$ . Qualora in sia tratto // all'asse  $x_3$   $T_{2z} \rightarrow$  lin.  
Inoltre se la linea media tocca l'asse  $x_3$  si produce  
una discontinuità di  $S_{x_2}'''$  ma non di  $T_{2z}$  locali

- Costanza dei flussi al nodo:

$$q_i \downarrow \quad q_j \downarrow \\ q_k$$

$$q_k = q_i + q_j \Rightarrow S_{x_k}''' = S_{x_i}''' + S_{x_j}'''$$

- Le  $T_{2z}$  locali, paraboliche lungo il tratto e-emo di linea media  
generano risultanti locali  $R_i = \int T_{2z_i} b_i ds_i = \int \frac{T_y S_{x_i}'''}{J_x} ds_i$   
applicate lungo la linea media a distanza  $r_{G_i} = \text{cost}$   
(rispetto a  $G$  (\*) o ad altro pto conveniente)

- Per equivalenza statica, il pto di applicazione del risultante delle  $T_{2z}$   
(stima del  $CT_a$ ) si determina come:  $T_y x_c = \sum_i R_i r_{G_i}$

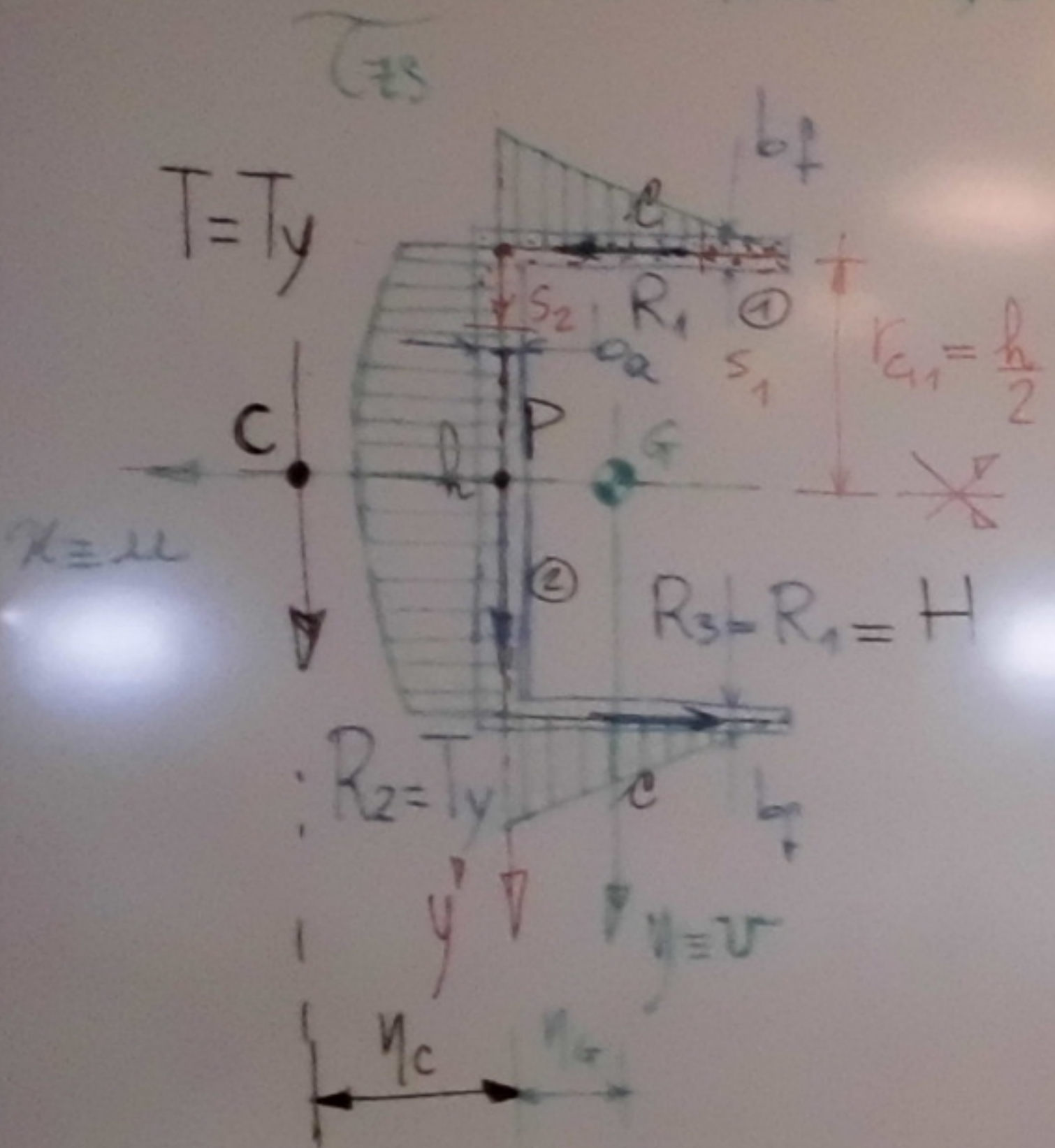
- Le risultanti possono essere determinate per integrazione diretta o mediante  
la formula di Simpson:  $\int S_{x_i}'''(s_i) ds_i = \frac{a_i}{6} (S_{x_i}'''|_{A_i} + 4S_{x_i}'''|_{B_i} + S_{x_i}'''|_{C_i})$   
I risultanti  $R_i$  convergono tutte verso il  
centro della stella, che quindi indica il  $CT_a$   
( $r_{G_i} = 0$ ) - Isolem per  $T = T_x$  e/o soprattempo gli effetti di  $T_x$  e  $T_y$

$$R_1 \quad C \quad R_2$$

$$\downarrow R_3$$

Profilo a C

$b_f, b_a, c, h, e$



Caratteristiche geometriche

$$A = 2b_f c + b_a h = b_f c \left(2 + \frac{b_a h}{b_f e}\right)$$

$$J_x = \frac{1}{12} b_a h^3 + 2 \left( \frac{1}{12} e^3 b_f^3 + b_f c \left(\frac{h}{2}\right)^2 \right)$$

anima

$$= \frac{1}{12} b_a h^3 + b_f c \frac{h^2}{2} = \frac{h}{12} \left(b + \frac{b_a h}{b_f e}\right)$$

$$\eta_G = \frac{S_y}{A} = \frac{\frac{1}{2} b_f c \frac{h}{2}}{A} = \frac{b_f c^2}{b_f c \left(2 + \frac{b_a h}{b_f e}\right)} = \frac{c}{2 + \frac{b_a h}{b_f e}}$$

ls.  $b_a = b_f = b$ , se  $h = e$ :  $\eta_G = \frac{c}{3}$   
 $h = 2c$ :  $\eta_G = \frac{c}{4}$   
 $h = 3c$ :  $\eta_G = \frac{c}{5}$

- Tensioni tangenziali  $T_{2S}$  ( $T = T_y \text{ in } C$ )

$$\textcircled{1} \quad T_{2S} = \frac{T_y S_x(s_1)}{J_x b_f^2} = \frac{T_y \frac{h}{2} s_1}{J_x} ; \quad \textcircled{2} \quad T_{2S} = -\frac{T_y S_x(s_2)}{J_x b_a}$$

$$S_x(s_1) = -b_f s_1 \frac{h}{2}$$

$$s_1 = c : T_{2S,1} = \frac{T_y \frac{h}{2} c}{J_x}$$

$$R_1 = \int_{0}^{c} T_{2S}(s_1) b_f ds_1$$

$$= \int_{0}^{c} \frac{T_y b_f \frac{h}{2} s_1}{J_x} ds_1$$

$$= \frac{T_y b_f \frac{h}{2} \frac{c}{2}}{J_x} = \frac{T_y b_f h c}{4} \checkmark$$

Area triangolo dell'anima delle  $T_{2S}$

$$H = R_1 = b_f c \frac{h}{2} \frac{1}{2} = b_f \frac{T_y h c}{2} \frac{1}{2} \checkmark$$

- NB:  $S$  &  $T_{2S}$  esplodono a  $T_y = 0$

occorre un momento tangenziale minimo

$$M_{\min} = T d$$

poligoni di tensione esplodono

di  $T_{2S}$  a nulla alla spina

1.  $T_y$  periferia

a nulla alla spina

$$S_2 = \frac{h}{2} : T_{2S,2} = \frac{T_y \frac{h}{2} (h - \frac{h}{2})}{J_x}$$

$$= \frac{T_y \frac{h}{2} \frac{h}{2}}{J_x} = \frac{T_y h^2}{8}$$

$$R_2 = \int_{0}^{h/2} T_{2S}(s_2) b_a ds_2 \equiv T_y$$

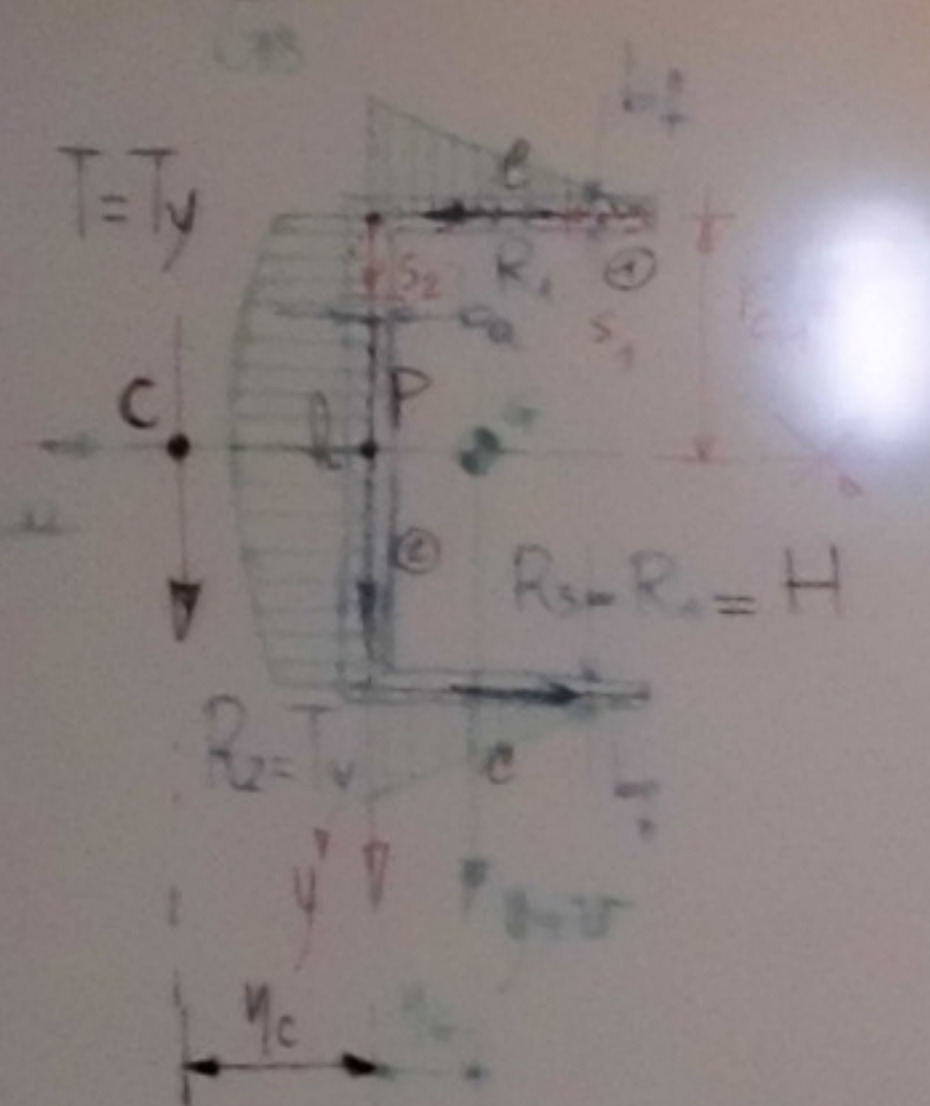
Equiv. statica (momenti tangenziali riguardo a P)

$$C \quad P \quad H$$

$$T_y N_c = H_h \Rightarrow \eta_c = H_h = \frac{H}{2} = \frac{H}{2} = \frac{H}{2}$$

$$= \frac{H}{2} = \frac{H}{2} = \frac{H}{2}$$

## Profilo a C



Caratteristiche geometriche

$$A = 2b_a h + b_f h = b_f e \left( 2 + \frac{b_a}{b_f} \frac{h}{e} \right)$$

$$J_x = \frac{1}{12} b_a h^3 + 2 \left( \frac{1}{12} e^3 b_f^3 + b_f e \left( \frac{h}{2} \right)^2 \right) \quad T_{2s} = T_{2s} ds$$

$$= \frac{1}{12} b_a h^3 + b_f e \frac{h^2}{2} = b_f e h \left( 6 + \frac{1}{b_f e} \right)$$

$$I_y = \frac{S}{A} = \frac{b_f e \frac{h}{2} \cdot \frac{b_f e^2}{2}}{2 + \frac{b_a}{b_f} \frac{h}{e}} = \frac{e}{2 + \frac{b_a}{b_f} \frac{h}{e}}$$

ss.  $b_a = b_f = b$ ,  $\propto h = e : \eta_G = \frac{3}{5}$   
 $h = 2c : \eta_G = \frac{3}{2}$   
 $h = 3e : \eta_G = \frac{3}{5}$

- Tensioni tangenziali  $T_{2s} (T = T_y \text{ in } C)$

$$\textcircled{1} \quad T_{2s} = \frac{T_y S_x(s_1)}{J_x b_f} = \frac{T_y}{J_x} \frac{h}{2} s_1; \quad \textcircled{2} \quad T_{2s} = - \frac{T_y S_x(s_2)}{J_x b_a}$$

$$S_x(s_1) = -b_f s_1 \frac{h}{2} \quad S_x(s_2) = b_f e \frac{h}{2} + h_a s_2 \left( \frac{h}{2} - \frac{s_2}{2} \right) \sim s_2^2$$

$$s_1 = e : T_{2s} = \frac{T_y}{J_x} \frac{h}{2} e \quad s_2 = \frac{h}{2} : T_{2s} = \frac{T_y}{J_x} \frac{1}{2} \left( b_f e \frac{h}{2} + \frac{b_a h^2}{2} \right)$$

$$R_1 = \int_{0}^{e} T_{2s}(s_1) ds_1 = \frac{T_y}{J_x} b_f \frac{h}{2} s_1 ds_1 = \frac{T_y}{J_x} b_f \frac{h}{2} \left( 1 + \frac{b_a h}{2 b_f e} \right) e$$

$$R_2 = \int_{0}^{h} T_{2s}^2(s_2) b_a ds_2 \equiv T_y$$

- Equir. Statica (dei momenti torcenti rispetto a P)

$$\begin{array}{|c|} \hline \text{C} \\ \hline \text{P} \uparrow \text{H} \\ \hline \text{T}_y \downarrow \text{G} \quad \text{H} \\ \hline \end{array} \quad T_y \eta_G = H h \Rightarrow \eta_G = \frac{H h}{T_y} = \frac{\frac{1}{2} b_f h^2 \frac{1}{2} h}{\frac{T_y}{J_x} \frac{4}{3} \frac{1}{2} b_f h} = \frac{\frac{1}{2} b_f h^3}{\frac{T_y}{J_x} \frac{4}{3} \frac{1}{2} b_f h} = \frac{3}{4} \frac{b_f h^2}{T_y}$$

- N.B. Se  $T_{2s}$  sono applicate in  $C$  ( $T_{2s} = 0$ )

(tensioni a radice) ( $\sigma = G \neq C$ )  
occorre introdurre il momento torcente parassita  
 $M_{td} = T d$  ( $d$  è la distanza tra  $C$  e  $C'$ ).  
responsabile del raccapponamento degli elementi  
e di  $T_{2s}$  a farcela nello spazio

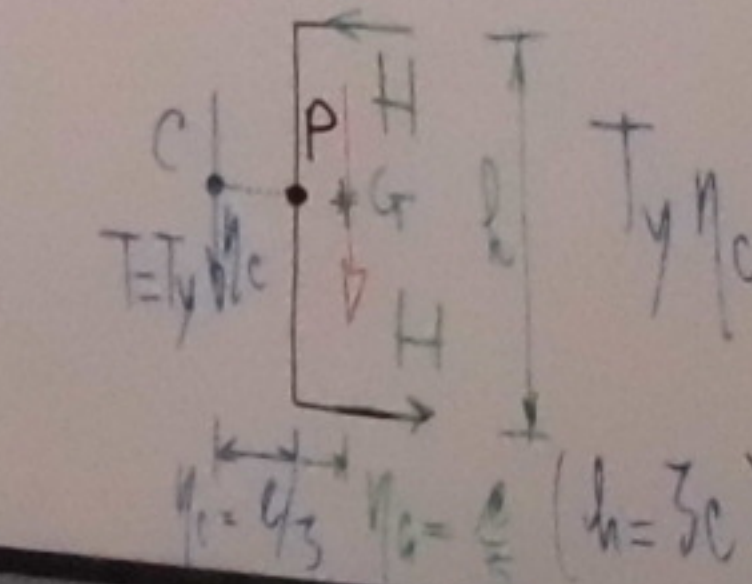
$$T_{2s}(T_y) + T_{2s}(M_d)$$

- N.B. Se  $T$  non è applicata in  $C$   
 (tipicamente si considera  $O \equiv G \neq C$ )  
 occorre introdurre il momento torcente parassita  
 $M_{td} = T \cdot d$  ( $d$  è la distanza tra  $O$  e  $C$ ),  
 responsabile di accoppiamento taglio/torsione  
 e di  $\tau_{2s}$  Tors. parassita  
 a farfalla sullo spessore

$$\tau_{2s}(Ty) + \tau_{2s}(\text{Mod}) = Ty(\eta_g + \eta_c) \quad \eta_c$$

|                   |                   |                 |
|-------------------|-------------------|-----------------|
| $ba = bf$         | $\frac{h}{c} = 1$ | $\frac{3}{7} c$ |
| $\frac{h}{c} = 2$ | $\frac{3}{8} c$   |                 |
| $\frac{h}{c} = 3$ | $\frac{1}{3} c$   |                 |

- Equir. statica (dei momenti torcenti rispetto a  $P$ )



$$H = \eta_c = \frac{1}{3} \eta_c \quad (\text{h} = 3c)$$

Area triangolo dell'and. delle  $\tau_{2s}$

$$H = b_f c \quad \tau_{2s} = \frac{1}{2} b_f \frac{Ty}{J_x} \frac{h}{2} \frac{1}{2} V$$

- Tensioni tangenziali  $\tau_{2s}$  ( $T = Ty \text{ in } C$ )

$$\textcircled{1} \quad \tau_{2s} = \frac{Ty S_x(s_1)}{J_x b_f} = \frac{Ty}{J_x} \frac{h}{2} s_1; \quad \textcircled{2} \quad \tau_{2s} = - \frac{Ty S_x(s_2)}{J_x b_a}$$

$$S_x(s_1) = -b_f s_1 \frac{h}{2}$$

$$s_1 = e: \tau_{2s} = \frac{Ty}{J_x} \frac{h}{2} e$$

$$R_1 = \int_0^e \tau_{2s}(s_1) b_f ds_1$$

$$= \int_0^e \frac{Ty}{J_x} b_f \frac{h}{2} s_1 ds_1$$

$$= \frac{Ty}{J_x} b_f \frac{h}{2} \frac{s_1^2}{2} = \frac{Ty}{J_x} b_f h c^2 \checkmark$$

$$\text{Area triangolo dell'and. delle } \tau_{2s}$$

$$H = \eta_c = \frac{1}{3} \eta_c \quad (\text{h} = 3c)$$

$$A = b_f c + a_b l = b_f c \left( 2 + \frac{b_f l}{4 c} \right)^2$$

$$= \frac{1}{2} b_f^3 c + b_f c \frac{l^2}{2} = b_f c h^2 \left( 6 + \frac{b_f l}{4 c} \right)$$

$$= \frac{1}{2} b_f^3 c + b_f c \frac{l^2}{2} = b_f c h^2 \left( 6 + \frac{b_f l}{4 c} \right)$$

$$= \frac{1}{2} b_f^3 c + b_f c \frac{l^2}{2} = b_f c h^2 \left( 6 + \frac{b_f l}{4 c} \right)$$

$$= \frac{1}{2} b_f^3 c + b_f c \frac{l^2}{2} = b_f c h^2 \left( 6 + \frac{b_f l}{4 c} \right)$$

$$= \frac{1}{2} b_f^3 c + b_f c \frac{l^2}{2} = b_f c h^2 \left( 6 + \frac{b_f l}{4 c} \right)$$

$$= \frac{1}{2} b_f^3 c + b_f c \frac{l^2}{2} = b_f c h^2 \left( 6 + \frac{b_f l}{4 c} \right)$$

$$= \frac{1}{2} b_f^3 c + b_f c \frac{l^2}{2} = b_f c h^2 \left( 6 + \frac{b_f l}{4 c} \right)$$

$$= \frac{1}{2} b_f^3 c + b_f c \frac{l^2}{2} = b_f c h^2 \left( 6 + \frac{b_f l}{4 c} \right)$$

$$= \frac{1}{2} b_f^3 c + b_f c \frac{l^2}{2} = b_f c h^2 \left( 6 + \frac{b_f l}{4 c} \right)$$

$$= \frac{1}{2} b_f^3 c + b_f c \frac{l^2}{2} = b_f c h^2 \left( 6 + \frac{b_f l}{4 c} \right)$$

$$= \frac{1}{2} b_f^3 c + b_f c \frac{l^2}{2} = b_f c h^2 \left( 6 + \frac{b_f l}{4 c} \right)$$

$$= \frac{1}{2} b_f^3 c + b_f c \frac{l^2}{2} = b_f c h^2 \left( 6 + \frac{b_f l}{4 c} \right)$$